

Кварковые ансамбли с бесконечной корреляционной длиной

Г. М. Зиновьев

Институт теоретической физики им. Н. Н. Боголюбова НАН Украины, Киев, Украина

С. В. Молодцов*

Объединенный институт ядерных исследований, Дубна, Московская область, Россия

(Dated: 24 апреля 2014 г.)

Рассматривается ряд точно интегрируемых (кварковых) моделей квантовой теории поля с бесконечной корреляционной длиной. Отмечается неустойчивость стандартного вакуумного кваркового ансамбля—моря Дирака (в случае пространственно-временной размерности выше трех), связанная с сильной вырожденностью состояния, которая обусловлена характером распределения по энергии. При стремлении параметра обрезания по импульсу к бесконечности распределение становится бесконечно узким, приводящим к большим (неограниченным) флюктуациям. Проводится сравнение различных вакуумных ансамблей: моря Дирака, нейтрального ансамбля, цветового сверхпроводника и БКШ состояния. В случае цветового кваркового взаимодействия, делается однозначный выбор в пользу БКШ состояния, как основного состояния кваркового ансамбля.

PACS numbers: 11.10.-z, 11.15.Tk

I. ВВЕДЕНИЕ

На первый взгляд может показаться, что идея рассматривать квантовую теорию поля с бесконечной корреляционной длиной в корне противоречит одному из исходных постулатов теории, связанному с лоренц(пуанкарэ)-инвариантностью. Кажется, однако, правдоподобным, что в случае сильных взаимодействий проявляется естественный масштаб в виде шкалы Λ_{QCD} (в электродинамике—масса электрона, в электрослабой теории—масштаб хигсовского бозона). Свидетельство того, что корреляционная длина вакуумного ансамбля (физического вакуума), скорее всего, конечна, приходит из опыта в лице феноменологии сильных взаимодействий и из решеточных вычислений. Если отвлечься от многих других деталей, то именно возникновение естественного масштаба, по-видимому, и является ключевым вопросом построения правильной теории, см., например, [1]. Обретенные недавно результаты работы LHC, по-видимому, существенно отодвигают (закрывают) сценарий суперсимметрии, как способа борьбы с бесконечностями теории, преследующими ее с момента обнаружения необходимостей в начале тридцатых годов прошлого века. А что если, вместо того чтобы искать решение этих проблем в лоб, получить подсказки, анализируя следствия, которые могут проявиться в квантовой теории поля, если масштаб возник. В случае сильных взаимодействий оправданным представляется рассмотреть модель с "бесконечной" корреляционной длиной, которая в данном конкретном случае определяется размером характерного (вакуумного) бокса $L \sim \Lambda_{\text{QCD}}^{-1}$. В

другом контексте эти модели известны, и плодотворны в физике конденсированного состояния [2], и мы называем их поэтому ККБ моделями. С чисто технической стороны мы получим существенное упрощение при рассмотрении кварковых ансамблей, поскольку, как выясняется, интересующие нас модели оказываются точно интегрируемыми (в смысле Тирринга, Латтинжера). Это свойство, как известно, играет огромную роль в понимании проблем квантовой теории поля, см., например, [3], и позволяет существенно продвинуться за рамки теории возмущений. Фактически мы уже пользовались этим приемом в наших предыдущих работах [4] при сопоставлении модели ККБ со случаем "точечного" взаимодействия, т.е. модели Намбу–Иона–Лазинио (НИЛ). Отметим также, что модели с бесконечной корреляционной длиной делают возможным оценить роль только квантовых корреляций, когда, формально, в системе как бы отсутствует силовое воздействие в обычном понимании, как это имеет место в классической динамике, или электродинамике, например. Кроме того, нас будет интересовать проблема описания реакции системы на внешнее воздействие, и было бы желательно провести сравнение с результатами, получаемыми в рамках одночастичной теории возмущений (картина которую подразумевают, иногда даже неосознанно, когда пытаются описать систему, находящуюся во внешнем поле).

Действие интересующего нас ансамбля может быть записано в виде

$$S = \int dt d^D x \left[\bar{q}(i\hat{\partial} - m)q - \frac{g}{2} j_\mu^a \int d^D y j_\mu'^a F(x, y) \right]. \quad (1)$$

Здесь $j_\mu^a = \bar{q} t^a \gamma_\mu q$ кварковый ток, с соответствующими операторами кварковых полей q , $\bar{q} = q^+ \gamma_0$, взятых в пространственной точке x (переменные со штрихом относятся к точке y), m —токовая масса кварка,

*Also at Институт теоретической и экспериментальной физики, Москва, Россия

$t^a = \lambda^a/2$ —генераторы цветовой калибровочной группы $SU(N_c)$, $\mu = 0, 1, 2, 3, \dots D$. $\hat{\partial}$ —частные производные по времени t и координатам x , натянутые на соответствующие γ -матрицы. Цветовая форма взаимодействия夸克ов сыграет ниже очень важную роль, но мы начнем обсуждение с более простого, абелева варианта. В двумерии (одна компонента временная, другая—пространственная $D = 1$) этот ансамбль, как известно, соответствует модели Тирринга, Латтинже-ра [3]. $F(x, y)$ представляет собой форм-фактор, который для простоты мы будем полагать трансляционно инвариантным $F(x, y) = F(x - y)$, и положим его, по определению, безразмерным, выделив соответствующую константу g . В интересующем нас случае "бесконечной" корреляционной длины никакая пространственная точка не выделена (сила, которая определяется как градиент потенциала, равна нулю), и именно это мы подразумевали, говоря об отсутствии силового воздействия. Формально форм-фактор можно даже просто положить равным единице $F(x) = 1$. Тогда фурье-образ форм-фактора $\tilde{F}(p) = \int d^Dx e^{ipx} F(x) = \delta(p)$ имеет размерность $[\tilde{F}(p)] = L^D$. Размерность夸ковых полей равна $[q] = L^{-D/2}$. Константа связи оказывается размерной $[g] = L^{-1}$, и поэтому в случае сильных взаимодействий ее естественно измерять в МэВ, например. В дальнейшем мы будем интересоваться плотностями "измеримых" величин, например, энергии: $\mathcal{E} = E/L^D$, где E —полнная энергия ансамбля. Чтобы не загромождать формулы факторами $L^{-D/2}$, мы не будем включать их в определение фермионных полей, поскольку, во-первых, они легко восстанавливаются, а во-вторых, в наблюдаемых они проявляются в виде соответствующего множителя объема бокса $V = L^D$. Характерной и непривычной особенностью принимаемой формы взаимодействия оказывается формальное отсутствие рассеяния. В процессе рассеяния входящий импульс夸кса совпадает с импульсом на выходе.

Следует, видимо, напомнить, каким образом, в принципе, из КХД может появиться эффективная форма взаимодействия вида (1). Предполагается, что夸ки находятся под действием сильных стохастических вакуумных глюонных полей. Тогда применяя процедуру усредненного описания夸кового ансамбля, можно получить интересующее нас произведение夸ковых токов, связанных соответствующим коррелятором глюонного поля $\langle A_\mu^a A_\nu^b \rangle$. В простейшей форме он является синглетным по цветовым индексам. Для простоты мы ограничимся контактным по времени взаимодействием (без запаздывания)

$$\langle A_\mu^a A_\nu^b \rangle = G \delta^{ab} \delta_{\mu\nu} F(\mathbf{x} - \mathbf{y}), \quad (2)$$

(мы не включили соответствующую дельта-функцию по времени в эту формулу). Кроме того, допустимы члены, натянутые на вектор относительного расстояния $x - y$. Понятно, что эта простейшая корреляционная функция является лишь фрагментом соответствующей упорядоченной экспоненты, и помимо че-

тырехфермионного взаимодействия возникает также сопутствующий бесконечный набор мультифермионных вершин [6].

II. МОДЕЛЬ В ДВУМЕРИИ

Модели вида (1) интенсивно изучались в двумерии, и послужили основой целого направления исследований [3], и являются, по существу, тем единственным источником, из которого можно получить достоверную информацию (вне рамок одночастичной теории возмущений) об описании реакции системы на внешнее воздействие, именно как системы. Курьезным представляется то, что интересующий нас случай доминирования корреляций систематически исключался из рассмотрения, посредством применения вычитательной процедуры, отбрасывающей вклад $\tilde{F}(0)$. Не менее курьезно то, что им пренебрегали в силу примитивности этого случая. Ведь с точки зрения теории рассеяния эту константу можно трактовать как некоторый ничего не значащий сдвиг фазы, который легко устраняется соответствующим сдвигом энергии. В двумерии аналог спиновых переменных вводится посредством дублета полей $q = (q_1, q_2)$ (хотя можно рассмотреть и полноценные спиноры, но для наших целей это не понадобится). Пока мы ограничимся абелевой формой взаимодействия, и опустим в действии (1) генераторы цветовой группы t^a . Гамма-матрицы возьмем в виде: $\gamma_0 = \sigma_2$, $\gamma_1 = i\sigma_1$, где σ_1 , σ_2 —матрицы Паули. В результате плотность лагранжиана можно привести к форме, типичной для моделей [3]

$$\mathcal{L} = \bar{q}(i\hat{\partial} - m)q - g(q_1^+ q_1^- q_2^+ q_2^- + q_2^+ q_2^- q_1^+ q_1^-). \quad (3)$$

Чтобы не загромождать формулы, мы не приводим знак интеграла по координате y , подразумевая его, поставив штрихи над соответствующими фермионными полями. Плотность гамильтонiana рассматриваемой системы можно представить в виде

$$\mathcal{H} = q_1^+ p q_1^- - q_2^+ p q_2^- + m(q_1^+ q_2^- + q_2^+ q_1^-) + g(q_1^+ q_1^- q_2^+ q_2^- + q_2^+ q_2^- q_1^+ q_1^-), \quad (4)$$

$p = i\partial_x$. Вслед за Тиррингом введем опорное вакуумное состояние $|0\rangle$, аннулируемое компонентами фермионных полей $q_{1x}|0\rangle = q_{2x}|0\rangle = 0$. Поскольку рассматривается система в боксе конечной длины, то подразумевается, что это условие выполняется в соответствующих дискретных пространственных точках для фермионов с периодическими граничными условиями. Рассмотрим сначала систему в киральном пределе ($m = 0$), и определим два фурье-образа дублета ферми-поля

$$a_{ik} = \int dx e^{-ikx} q_{ix}, \quad q_{ix} = \int dk \tilde{k} e^{ikx} a_{ik}, \quad (5)$$

$\tilde{k} = k/(2\pi)$. Когда это понятно из контекста мы будем иногда не указывать пространственную точку (в приведенной выше формуле x), для сокращения записи

формул. Тогда плотность свободного гамильтониана и плотность члена взаимодействия можно записать в виде

$$\begin{aligned}\mathcal{H}_0 &= \sum_k k a_{1k}^+ a_{1k} - \sum_k k a_{2k}^+ a_{2k}, \\ \mathcal{V} &= 2g \sum_k a_{1k}^+ a_{1k} \sum_l a_{2l}^+ a_{2l},\end{aligned}\quad (6)$$

(точнее последнее выражение должно быть симметризовано, но это не играет существенной роли для дальнейшего). Фермионные антиперестановочные соотношения приводят, как известно [3], к стандартной картине операторов рождения a^+ , уничтожения a , со стандартным антиперестановочным соотношением $a^+a + aa^+ = 1$ (индексы опускаем). Легко видеть, что в силу определения опорное состояние является собственным состоянием гамильтониана $H = \int dx \mathcal{H}$, $H = H_0 + V$ с нулевым собственным значением $H|0\rangle = 0$, поскольку $H_0|0\rangle = 0$, $V|0\rangle = 0$. Если ориентироваться на теорию возмущений, то опасение вызывают состояния отрицательной энергии свободного гамильтониана. Из выражения (6) видим, что для частиц первого сорта это состояния с отрицательным импульсом $a_{1k}, k < 0$, а для частиц сорта два опасными представляются состояния с положительным импульсом $a_{2k}, k > 0$. Эту проблему решают путем заполнения частицами отрицательной энергии дираковского моря. Итак, будем полагать, что основное состояние имеет вид

$$|0\rangle = \prod_{k=-\Lambda}^{-P} a_{1k}^+ \prod_{l=P}^{\Lambda} a_{2l}^+ |0\rangle. \quad (7)$$

В этой формуле мы ввели некоторый искусственный импульс обрезания Λ , который согласно стандартам квантовой теории поля следует устремить к бесконечности. Также мы ввели некоторый граничный импульс P , смысл которого станет ясен из дальнейшего. "Заряд" системы

$$Q = \int dx (q_1^+ q_1 + q_2^+ q_2) = \sum_k (a_{1k}^+ a_{1k} + a_{2k}^+ a_{2k}),$$

коммутирует с гамильтонианом H . Поэтому собственные состояния гамильтониана удобно классифицировать по заряду. Для свободного гамильтониана имеем

$$\mathcal{H}_0 |0\rangle = \left(\sum_{-\Lambda}^{-P} k - \sum_P^{\Lambda} k \right) |0\rangle.$$

Для члена взаимодействия получим

$$\mathcal{V} |0\rangle = 2gL(\Lambda - P)^2 |0\rangle,$$

т.е. плотность энергии такого моря Дирака имеет вид

$$\mathcal{E}_D = -\Lambda(\Lambda + \tilde{1}) + P(P + \tilde{1}) + 2gL(\Lambda - P)^2, \quad (8)$$

где по определению единицей импульса является $\tilde{1} = 2\pi/L$. Любопытно сразу же отметить, что для параметров связи $2gL > 1$ ветви параболы, как функции параметра обрезания Λ , меняют направление, и море Дирака может даже оказаться конечной относительной глубины. Действительно, заполнение моря Дирака имеет смысл проводить до некоторой точки P при которой энергия моря Дирака минимальна

$$\Lambda - P_{\min} = \frac{1}{2} \frac{2\Lambda + \tilde{1}}{2gL + \tilde{1}}, \quad \mathcal{E}_{\min} = -\frac{1}{4} \frac{2\Lambda + \tilde{1}}{2gL + \tilde{1}} (2\Lambda + \tilde{1}). \quad (9)$$

Поскольку рассматривается система в боксе, то речь идет о ближайшем к этой точке целом числе. Кроме этого интересно отметить, что почти для всех значений константы связи g "вакуумное" состояние моря Дирака почти вырождено (для некоторого дискретного набора констант связи двукратное вырождение точное), поскольку ближайшее целое число либо преисходит, либо меньше, чем (9). (Понятно, что если это свойство сохранится и в многомерной ситуации, то вырождение моря Дирака будет измеряться площадью соответствующей сферы, см. ниже). В двумерии речь идет именно об относительной глубине моря Дирака, поскольку устремляя параметры Λ и P согласованным образом к бесконечности можно получать неограниченно низкие значения \mathcal{E}_D . По-видимому, это все та-ки специфика двумерия, см. анализ многомерной ситуации ниже. При малой константе связи $gL \rightarrow 0$ имеется стандартная картина моря Дирака. Но вот уже для значений $2gL \sim 1$ граничный импульс P становится сравним с масштабом обрезания $P \sim \Lambda/2$. Возбуждения такого моря Дирака выглядят несколько парадоксально. Добавление, удаление частицы с чудовищным импульсом $\sim \Lambda/2$ приводит к небольшому увеличению энергии $\sim d\mathcal{E}/dP|_{P=P_{\min}}$, что, по-видимому, никак не соответствует наблюдениям. С точки зрения здравого смысла рассматриваемое нами состояние выглядит довольно экзотически. Оно предполагает, что имеется какой-то механизм сепарации частиц. Частицы первого сорта почему то приобретают преимущественно отрицательные импульсы, а частицы второго сорта—положительные. Такое поведение обусловлено видом члена кинетической энергии в выражении (6) в нерелятивистском приближении, если рассматривать кинетическую энергию как малое отклонение от энергии Ферми. Рассмотрим для примера ансамбль с одинаковым числом состояний с положительными и с отрицательными импульсами для обоих сортов частиц. Итак, имеется $L(\Lambda - P)$ частиц первого сорта с положительными импульсами, и столько же частиц первого сорта с отрицательными импульсами. Аналогично и для частиц второго сорта. Для частиц первого сорта наименшая энергия получается, если заполнение состояниями с отрицательным импульсом начинается со дна моря (т.е. начиная с импульса обрезания Λ). Состояния же с положительными импульсами заполняют море, начиная от наименьшего положительного импульса, т.е. единицы. Аналогично для второго сорта

частиц, с очевидной перестановкой местами состояний с положительными и отрицательными импульсами. В итоге для плотности энергии можно получить

$$\mathcal{E}_n = -\Lambda(\Lambda + \tilde{\Gamma}) + P(P + \tilde{\Gamma}) + (\Lambda - P)(\Lambda - P + \tilde{\Gamma}) + 4gL(\Lambda - P)^2 = -(\Lambda - P)2P + 4gL(\Lambda - P)^2. \quad (10)$$

Мы видим, что по сравнению с дираковским морем для "нейтрального" ансамбля энергия просто контролируется полным числом частиц. Тем не менее можно показать, что и у такого моря абсолютная глубина не определена (стремится к минус бесконечности). Общее впечатление от рассмотрения этих конкретных примеров таково, что свойства системы, по-видимому, определяются не только самим гамильтонианом, но также и определенной фиксацией сектора гильберто-ва пространства адекватного рассматриваемой задаче [7]. Трудно также поверить, что полученные нами результаты можно вывести (в одночастичном приближении) путем вычисления детерминанта гамильтониана. Ниже мы сравним эти результаты с результатами, получаемыми для модели Тирринга с точечной формой взаимодействия $F(x) = \delta(x)$.

Чтобы наше рассмотрение в этом пункте было заключенным, рассмотрим систему вне кирального предела. Теперь плотность свободного гамильтониана приобретает вид

$$\mathcal{H}_0 = \sum_k k(a_{1k}^+ a_{1k} - a_{2k}^+ a_{2k}) + m(a_{1k}^+ a_{2k} + a_{2k}^+ a_{1k}). \quad (11)$$

Диагонализуем эту форму путем канонического преобразования к новым операторам рождения, уничтожения

$$\begin{aligned} \tilde{A}_{1k} &= \cos \varphi_m a_{1k} + \sin \varphi_m a_{2k}, \\ \tilde{A}_{2k} &= -\sin \varphi_m a_{1k} + \cos \varphi_m a_{2k}. \end{aligned} \quad (12)$$

Здесь $\sin \theta_m = m/k$, $\cos \theta_m = k/k_0$, $k_0 = (k^2 + m^2)^{1/2}$, $\theta_m = 2\varphi_m$. Вместо выражения (5) разложение кварковых операторов по операторам уничтожения теперь приобретает вид

$$q_{jx} = \sum_k e^{ikx} [\tilde{U}_k(j) \tilde{A}_{1k} + \tilde{V}_k(j) \tilde{A}_{2k}], \quad (13)$$

$j = 1, 2$. При $k > 0$ спиноры имеют вид

$$\begin{aligned} \tilde{U}_k(1) &= \left(\frac{k_0 + k}{2k_0} \right)^{1/2} \theta_k, \quad \tilde{U}_k(2) = \left(\frac{k_0 - k}{2k_0} \right)^{1/2} \theta_k, \\ \tilde{V}_k(1) &= -\tilde{U}_k(2), \quad \tilde{V}_k(2) = \tilde{U}_k(1), \end{aligned} \quad (14)$$

θ_k —тета-функция ($\theta_k = 1, k > 0$, $\theta_k = 0, k \leq 0$). При $k < 0$, аналогично имеем

$$\begin{aligned} \tilde{U}_k(1) &= \left(\frac{k_0 + |k|}{2k_0} \right)^{1/2} \theta_{-k}, \quad \tilde{U}_k(2) = -\left(\frac{k_0 - |k|}{2k_0} \right)^{1/2} \theta_{-k}, \\ \tilde{V}_k(1) &= -\tilde{U}_k(2), \quad \tilde{V}_k(2) = \tilde{U}_k(1). \end{aligned} \quad (15)$$

В киральном пределе $m = 0$ мы будем употреблять обозначения $u_k(j)$, $v_k(j)$, $j = 1, 2$, как предельные выражения представленных формул. Можно показать, что "заряд" системы

$$Q = \int dx (q_1^+ q_1 + q_2^+ q_2) = \sum_k (\tilde{A}_{1k}^+ \tilde{A}_{1k} + \tilde{A}_{2k}^+ \tilde{A}_{2k}),$$

коммутирует с гамильтонианом H , поэтому состояния системы удобно классифицировать по заряду. Подсчитывая энергию моря Дирака вместо формулы (8) имеем

$$\mathcal{E}_D = -2 \sum_{k=P}^{\Lambda} k_0 + 2gL(\Lambda - P)^2, \quad (16)$$

т.е., в принципе, мы получаем ту же картину, что и в киральном пределе, с точностью до членов порядка $O(m)$. Аналогично и для "нейтрального" состояния формулы модифицируются малыми $O(m)$ поправками.

Рассмотрим еще состояние, введенное в физику сильных взаимодействий Боголюбовым–Намбу–Иона–Лизинио, которое аналогично состоянию спаренных БКШ электронов в сверхпроводнике [8], [9], [10]. Мы проведем анализ сначала в киральном пределе. Положим граничный импульс P в формуле (7) для заполненного вакуумного состояния равным нулю, и применим известное каноническое преобразование [11], введя операторы частиц a для состояний с положительной энергией, и античастиц b для состояний с отрицательной энергией

$$\begin{aligned} q_{1x} &= \sum_{k \geq 0} e^{ikx} a_k + \sum_{k \geq -\Lambda}^0 e^{ikx} b_{-k}^+ = \sum_k e^{ikx} (\tilde{\theta}_k a_k + \tilde{\theta}_{-k} b_{-k}^+), \\ q_{2x} &= \sum_{k \geq -\Lambda}^0 e^{ikx} a_k + \sum_{k \geq 0} e^{ikx} b_{-k}^+ = \sum_k e^{ikx} (\tilde{\theta}_{-k} a_k + \tilde{\theta}_k b_{-k}^+). \end{aligned} \quad (17)$$

Здесь a^+ , a и b^+ , b —операторы рождения и уничтожения кварков и антикварков, $a|0\rangle = 0$, $b|0\rangle = 0$. В представлениях (17) удобно также использовать тета-функции $\tilde{\theta}_k$ на соответствующих отрезках, определения которых, надеемся, понятны из записи. Плотность свободного гамильтониана принимает вид

$$\mathcal{H}_0 = \sum_k k a_k^+ a_k (\tilde{\theta}_k - \tilde{\theta}_{-k}) + \sum_k k b_{-k}^+ b_{-k} (\tilde{\theta}_{-k} - \tilde{\theta}_k). \quad (18)$$

Предполагается, что при достаточно сильном взаимодействии основное состояние системы образовано кварк-антикварковыми парами с противоположными импульсами, с квантовыми числами вакуума, и его выбирают в виде смешанного состояния с боголюбовской пробной функцией (тем самым вводится некоторая выделенная система отсчета)

$$|\sigma\rangle = T|0\rangle, \quad T = \prod_p \exp[\varphi_p (a_p^+ b_{-p}^+ + a_p b_{-p})].$$

Напомним, что одевающее преобразование T превращает кварковые операторы в операторы рождения и уничтожения квазичастиц $A = T a T^\dagger$, $B^+ = T b^+ T^\dagger$. Представления (17) приобретают теперь вид

$$\begin{aligned} q_{1x} &= \sum_k e^{ikx} (U_k A_k + U_{-k} B_{-k}^+) , \\ q_{2x} &= \sum_k e^{ikx} (V_k A_k + V_{-k} B_{-k}^+) , \end{aligned} \quad (19)$$

где использованы следующие обозначения

$$\begin{aligned} U_k &= \cos \varphi u_k - \sin \varphi u_{-k} , \\ U_{-k} &= \sin \varphi u_k + \cos \varphi u_{-k} . \end{aligned} \quad (20)$$

Аналогичные формулы имеют место для компонент V , с заменами $U \rightarrow V$, $u \rightarrow v$. В этих определениях мы также для единства записи унифицировали запись формул, введя компоненты u, v согласно определениям (они окажутся удобными вне кирального предела)

$$\begin{aligned} u_k &= \tilde{\theta}_k , & v_k &= \tilde{\theta}_{-k} , \\ u_{-k} &= \tilde{\theta}_{-k} , & v_{-k} &= \tilde{\theta}_k . \end{aligned} \quad (21)$$

Плотность свободного гамильтонiana преобразуется к виду

$$\begin{aligned} \mathcal{H}_0 &= \sum_k k \cos \theta (A_k^+ A_k - B_{-k} B_{-k}^+) (\tilde{\theta}_k - \tilde{\theta}_{-k}) + \\ &+ \sum_k k \sin \theta (A_k^+ B_{-k}^+ + B_{-k} A_k) (\tilde{\theta}_k - \tilde{\theta}_{-k}) , \end{aligned} \quad (22)$$

здесь $\theta = 2\varphi$. Член взаимодействия можно представить как

$$\begin{aligned} q_1^+ q_1 q_2' q_2' &= \sum_k (U_k^+ A_k^+ + U_{-k}^+ B_{-k}) (U_k A_k + U_{-k} B_{-k}^+) \times \\ &\times \sum_l (V_l^+ A_l^+ + V_{-l}^+ B_{-l}) (V_l A_l + V_{-l} B_{-l}^+) . \end{aligned} \quad (23)$$

Угол спаривания находится из условия минимума средней энергии $\langle \sigma | H | \sigma \rangle$. В силу принимаемого порядка следования операторов ненулевые вклады в это среднее дают только следующие матричные элементы:

$$\begin{aligned} &\langle \sigma | B_{-k} B_{-k}^+ | \sigma \rangle , \\ &\langle \sigma | B_{-k} A_k A_l^+ B_{-l}^+ \tilde{F}(k-l) | \sigma \rangle , \\ &\langle \sigma | B_{-k} B_{-k}^+ B_{-l} B_{-l}^+ \tilde{F}(k-l) \tilde{F}(0) | \sigma \rangle . \end{aligned}$$

Мы оставили в записи матричных элементов вклад форм-фактора, чтобы можно было проследить какие модификации потребуются при переходе к взаимодействию общего вида. Первый вклад приходит от свободного гамильтонiana. Второй матричный элемент,

с учетом вида форм-фактора для интересующей нас модели $\tilde{F}(k) = \delta(k)$, приводит к вкладу вида

$$U_{-k}^+ V_{-k} U_k V_k^+ = -\frac{\sin^2 \theta}{4} (\tilde{\theta}_k + \tilde{\theta}_{-k}) .$$

Первый и второй матричные элементы могут приводить к выигрышу энергии, в отличие вклада, связанного с третьим матричным элементом, который строго положителен. Но как это отмечалось в работах [4], для кварковых токов, содержащих генераторы цветовой группы t^a , третий вклад строго обращается в ноль, поскольку он отвечает головастичным диаграммам, где в каждой вершине след по генератору цветовой группы обращается в ноль в силу полноты спинорного базиса (здесь по цветовым индексам). Собирая все вместе, можно получить следующее выражение для функционала средней энергии (мы не будем выписывать вклады следов генераторов цветовой группы, поскольку это сводится к определенному переопределению константы связи, и несущественно для дальнейшего)

$$\langle \sigma | \mathcal{H} | \sigma \rangle = \sum_{k=0}^{\Lambda} (-2k \cos \theta - g \sin^2 \theta) . \quad (24)$$

Минимум функционала дается решениями следующего уравнения

$$\sin \theta (-k + g \cos \theta) = 0 . \quad (25)$$

Нетривиальное решение получается для импульсов $k < g$

$$\cos \theta = k/g .$$

Не усложняя задачи, ограничимся только такими состояниями и положим, формально, импульс обрезания равным константе связи $\Lambda = g$. Более сложная конструкция, с продолжением решения с помощью тривиальной ветви $\theta = 0$, здесь будет излишней. Подсчитывая плотность энергии конденсата имеем

$$\langle \sigma | \mathcal{H} | \sigma \rangle = -\frac{4}{3} g^2 . \quad (26)$$

Сравнивая это выражение с плотностью энергии "нейтральной" системы (10), можно видеть, что при достаточной плотности ансамбля энергия "нейтрально" ансамбля становится положительной, т.е. энергетически более выгодным оказывается боголюбовское заполнение моря. Сам же конденсат характеризуется плотностью заряда

$$\langle \sigma | Q | \sigma \rangle = 2gL , \quad Q = \int dx (q_1^+ q_1 + q_2^+ q_2) \quad (27)$$

Вне кирального предела в представлении кварковых операторов (19) компоненты U, V имеют вид

$$\begin{aligned} U_k &= \tilde{U}_{k>0}(1) + \tilde{V}_{k<0}(1) , \quad U_{-k} = \tilde{U}_{k<0}(1) + \tilde{V}_{k>0}(1) \\ V_k &= \tilde{V}_{k<0}(2) + \tilde{U}_{k>0}(2) , \quad V_{-k} = \tilde{V}_{k>0}(2) + \tilde{U}_{k<0}(2) . \end{aligned} \quad (28)$$

Каноническое и одевающее преобразования проводятся уже с соответствующими операторами \tilde{A}_i , $i = 1, 2$,

$$|\sigma\rangle = T|0\rangle, \quad T = \prod_p \exp[\varphi_p (\tilde{A}_p^+ \tilde{B}_{-p}^+ + \tilde{A}_p \tilde{B}_{-p})],$$

$A = T \tilde{A} T^\dagger$, $B^+ = T \tilde{B}^+ T^\dagger$, см. выражение (13). Свободный гамильтониан имеет вид

$$\begin{aligned} \mathcal{H}_0 &= \sum_k k_0 \varepsilon(k) \cos \theta (A_k^+ A_k - B_{-k} B_{-k}^+) (\tilde{\theta}_k - \tilde{\theta}_{-k}) + \\ &+ \sum_k k_0 \varepsilon(k) \sin \theta (A_k^+ B_{-k}^+ + B_{-k} A_k) (\tilde{\theta}_k - \tilde{\theta}_{-k}). \end{aligned} \quad (29)$$

Здесь функция $\varepsilon(k)$ обозначает знак импульса k . Вклад второго матричного элемента преобразуется к виду

$$U_{-k}^+ V_{-k} U_k V_k^+ = -\frac{\sin^2(\theta - \theta_m)}{4} (\tilde{\theta}_k + \tilde{\theta}_{-k}),$$

определение вспомогательного угла θ_m , см. в выражении (12). В результате функционал средней энергии приводится к виду

$$\langle \sigma | \mathcal{H} | \sigma \rangle = \sum_{k=0}^{\Lambda} [-2k \cos \theta - g \sin^2(\theta - \theta_m)]. \quad (30)$$

Можно показать, что в двумерии мы получим незначительные поправки $O(m)$, по сравнению с результатами, полученными в киральном пределе. Но уже в трехмерии ситуация разительно изменяется, как это уже отмечалось нами в работах [4].

Проведем сравнение для модели Тирринга с точечной формой взаимодействия, $F(x) = \delta(x)$. Сначала приведем результаты в киральном пределе, следуя обозначениям работы [10]. Оговорим, что константа взаимодействия в этом случае безразмерна, и отличается от константы связи для случая дельта-образного формфактора в импульсном пространстве. Как известно, гамильтониан модели можно диагонализировать при помощи подстановки Бете

$$\begin{aligned} |k_1, \dots, k_N\rangle &= \int \prod_{i=1}^{N_1} dx_i e^{ik_i x_i} \int \prod_{j=1}^{N_2} dy_j e^{ik_{N_1+j} y_j} \times \\ &\times \prod_{i,j} [1 + \lambda_{ij} \epsilon(x_i - y_j)] \prod_{i=1}^{N_1} q_1^+(x_i) \prod_{j=1}^{N_2} q_2^+(y_j) |0\rangle, \end{aligned}$$

в которой, $\epsilon(x)$ —функция в виде ступеньки $\epsilon(x) = -1$, при $x < 1$, $\epsilon(x) = 1$, при $x > 1$, k_i —импульс i -ой частицы, фазовый фактор $\lambda_{ij} = -g/2S_{ij}$, $S_{ij} = (k_i E_j - k_j E_i)/(k_i k_j - E_i E_j - \varepsilon^2)$, ε —бесконечно малый инфракрасный регуляризатор, E_i —энергия частицы, (в рассматриваемом случае безмассовых частиц $E_i = |k_i|$). Уравнение для собственных функций гамильтониана приводится при этом к виду

$$H|k_1, \dots, k_N\rangle = \sum_{i=1}^N E_i |k_1, \dots, k_N\rangle,$$

$N = N_1 + N_2$. Периодические граничные условия приводят к условиям на импульсы частиц

$$k_i = \frac{2\pi n_i}{L} + \frac{2}{L} \sum_{j \neq i}^N \arctan(g S_{ij}/2),$$

где $n_i = 0, \pm 1, \dots, \pm N_0$, $N_0 = (N-1)/2$. Для "симметричного" вакуумного состояния эти условия выполняются для следующей последовательности импульсов частиц

$$\begin{aligned} k_0 &= 0, \quad (n_0 = 0), \\ k_i &= \frac{2\pi n_i}{L} + \frac{2N_0}{L} \arctan(g/2), \quad (n_i = 1, 2, \dots, N_0), \\ k_i &= \frac{2\pi n_i}{L} - \frac{2N_0}{L} \arctan(g/2), \quad (n_i = -1, -2, \dots, -N_0). \end{aligned}$$

Для энергии вакуума получают

$$E_0^{sym} = -\Lambda \left[N_0 + 1 - \frac{2N_0}{\pi} \arctan(g/2) \right], \quad (31)$$

(знак перед слагаемым, содержащим взаимодействие может быть получен по соображениям непрерывности, стартуя с формулы (8), например). Принимая во внимание явное выражение для числа состояний

$$N_0 = \frac{L}{2\pi} \Lambda,$$

легко видеть, что, фактически, получается формула для энергии основного состояния вида (8), имея ввиду связь плотности энергии и энергии ансамбля $\mathcal{E} = E/L$. Интересно отметить, что в случае точечного взаимодействия, в силу очевидного ограничения $|\arctan x| < \pi/2$, член взаимодействия не может изменить сигнатуру параболы для энергии вакуума, в отличие от случая дельта-образного формфактора в импульсном пространстве. Аналогичные формулы имеют место и в случае модели Гроса–Невье [5]. Для массивной модели Тирринга с точечным взаимодействием, $F(x) = \delta(x)$, известно, что распределение моря Дирака отличается от свободного ($g = 0$) лишь перенормировкой быстроты $\alpha \rightarrow \pi/(g+\pi)\alpha$, $\alpha = \ln[(k_0 - k)/m]$. Условие конечности массы физического возбуждения приводит к требованию перенормировки токовой массы $m = c e^{-2\varphi/(\pi+2\varphi)\Lambda}$, $\sin \varphi = g/(4 + g^2)^{1/2}$. В спектре модели появляются связанные состояния. Помимо "симметричного" вакуумного состояния в работах [9], [10], было показано, что имеется энергетически более выгодное состояние. Мы не будем более останавливаться на анализе ситуации в двумерии, и ограничимся только этими поверхностными сведениями. С современным состоянием исследований в этой области можно познакомиться в [3].

III. ТОЧНАЯ ИНТЕГРИРУЕМОСТЬ МОДЕЛИ ККВ

Поведение кваркового ансамбля с бесконечной корреляционной длиной в пространстве больших размер-

ностей мы проиллюстрируем на примере $3 + 1$ теории, как случае, представляющем наибольший интерес. Необходимые модификации при переходе к $D + 1$ задачам будут очевидны. Прежде всего специфицируем представление полей кварков

$$\begin{aligned} q_{\mathbf{x}} &= \int d\tilde{\mathbf{p}} e^{-i\mathbf{px}}/(2p_0)^{1/2} [a_{\mathbf{p},s} u_{\mathbf{p},s} + b_{-\mathbf{p},s}^+ v_{-\mathbf{p},s}] , \\ \bar{q}_{\mathbf{x}} &= \int d\tilde{\mathbf{p}} e^{i\mathbf{px}}/(2p_0)^{1/2} [a_{\mathbf{p},s}^+ \bar{u}_{\mathbf{p},s} + b_{-\mathbf{p},s} \bar{v}_{-\mathbf{p},s}] , \end{aligned} \quad (32)$$

здесь $\tilde{\mathbf{p}} = \mathbf{p}/(2\pi)^3$, спиноры u и v имеют стандартный вид и нормировки, которые мы не приводим. Вообще говоря, следуя рассмотрению двумерной ситуации в предыдущем параграфе, следовало бы вместо оператора рождения (уничтожения) b ввести оператор уничтожения (рождения) дополнительной частицы иного сорта. Мы ввели определения операторов частиц и анти-частиц подразумевая, что соответствующее каноническое преобразование с частицами и дырками уже выполнено. Это удобно для дальнейшего при работе с БКШ состоянием. Нам понадобится следующее одновременное перестановочное соотношение

$$\{q_{i\alpha\mathbf{x}}, \bar{q}_{j\beta\mathbf{y}}\} = \gamma_{\alpha\beta}^0 \delta_{ij} \delta_{\mathbf{x},\mathbf{y}} . \quad (33)$$

Напомним форму гамильтониана взаимодействия

$$V = g v , \quad v = \int d\mathbf{x}d\mathbf{y} F(\mathbf{x} - \mathbf{y}) j_{\mu}^a(\mathbf{x}) j_{\mu}^a(\mathbf{y}) ,$$

где использованы операторы тока

$$j_{\mu}^a(\mathbf{x}) = \bar{q}_{\mathbf{x}} \Gamma q_{\mathbf{x}} , \quad (34)$$

причем для упрощения записи последующих формул мы пользуемся сокращенным обозначением $\Gamma = \gamma_{\mu} t^a$, несмотря на некоторую непоследовательность определения. Можно показать, что гамильтониан интересующего нас ансамбля коммутирует с оператором барийонного заряда системы

$$[H, Q] = 0 , \quad Q = \int d\mathbf{x} \bar{q}_{\mathbf{x}} \gamma_0 q_{\mathbf{x}} .$$

Поэтому как и в случае двумерия можно воспользоваться приемом Тирринга, и назначить опорное состояние $|0\rangle$, аннулируемое кварковым оператором

$$q_{\mathbf{x}}|0\rangle = 0 ,$$

во всех соответствующих дискретных точках бокса. (т.е. все состояния античастиц, описываемые операторами типа b заполнены) Собственные векторы гамильтониана H разыскиваются при этом в виде

$$|N\rangle = \bar{q}_{\mathbf{z}_1} \bar{q}_{\mathbf{z}_2} \dots \bar{q}_{\mathbf{z}_N} \chi_{\mathbf{z}_1 \mathbf{z}_2 \dots \mathbf{z}_N} |0\rangle . \quad (35)$$

В этой формуле подразумевается интегрирование по всем координатам \mathbf{z}_i , которые мы для сокращения записи опускаем. По индукции можно показать, что действие свободного гамильтониана на собственный вектор приведет к суперпозиции вкладов вида

$$\mathcal{H}_0|N\rangle = \sum_{\mathbf{k}} k_0(a_{\mathbf{k}}^+ a_{\mathbf{k}} + b_{-\mathbf{k}} b_{-\mathbf{k}}^+)|N\rangle , \quad (36)$$

где $k_0 = (\mathbf{k}^2 + m^2)^{1/2}$ —энергия кварка. Аналогично для члена взаимодействия можно получить

$$\begin{aligned} [v, \bar{q}_1 \bar{q}_2 \dots \bar{q}_N] \chi &= 2N \bar{q}_1 \bar{q}_2 \dots \bar{q}_N \Gamma \gamma^0 j \chi + \\ &+ N(N-1) \bar{q}_1 \dots \bar{q}_{N-1} \Gamma \gamma^0 \bar{q}_N \Gamma \gamma^0 \chi + N \bar{q}_1 \dots \bar{q}_N \Gamma \gamma^0 \Gamma \gamma^0 \chi . \end{aligned} \quad (37)$$

Поясним, что в этой записи подразумеваются соответствующие перестановки индексов $1 \dots N$ в первом и третьем членах, а также перестановки по всем парам индексов во втором слагаемом, но мы их опускаем, просто указывая, что возникает N или $N(N-1)$ эквивалентных вкладов. Также мы опустили пространственные индексы у кварковых операторов, и аналогично индексы у оператора кваркового тока j (34). По построению, оператор тока при действии на опорный вектор дает ноль $j|0\rangle = 0$. Пользуясь этим легко найти действие оператора взаимодействия на разыскиваемый собственный вектор (35). Прямое произведение λ -матриц, которое стоит во втором слагаемом выражения (37), может быть разложено на симметричную и анти-симметричную по цветовым индексам спиноров составляющие

$$\boldsymbol{\lambda} \otimes \boldsymbol{\lambda} = \frac{4}{3} \Lambda_s - \frac{8}{3} \Lambda_a , \quad \Lambda_s + \Lambda_a = E_{\Lambda} , \quad (38)$$

где E_{Λ} —единичный тензор. Аналогично легко видеть, что прямое произведение пространственных $\gamma\gamma^0$ -матриц,

$$\gamma\gamma^0 = \begin{vmatrix} \boldsymbol{\sigma} & 0 \\ 0 & -\boldsymbol{\sigma} \end{vmatrix} , \quad \gamma\gamma^0 = \begin{vmatrix} 0 & \boldsymbol{\sigma} \\ \boldsymbol{\sigma} & 0 \end{vmatrix} ,$$

(в киральном (Вейля), и в стандартном представлениях, соответственно), действует на спинорные индексы также, как действует прямое произведение σ -матриц

$$\boldsymbol{\sigma} \otimes \boldsymbol{\sigma} = \Sigma_s - 3\Sigma_a , \quad \Sigma_s + \Sigma_a = E_{\Sigma} , \quad (39)$$

где E_{Σ} —единичный тензор. Тогда для прямого произведения $\gamma_{\mu}\gamma^0$ -матриц получим

$$\gamma_{\mu}\gamma^0 \otimes \gamma^{\mu}\gamma^0 = \Sigma_s + \Sigma_a - (\Sigma_s - 3\Sigma_a) = 4\Sigma_a . \quad (40)$$

Здесь, аналогично цветовым матрицам подразумеваются симметричный и анти-симметричный проекторы в пространстве спиноров. В результате для интересующей нас в случае фермионов антисимметричной по цветовым и спинорным индексам комбинации можно получить

$$\boldsymbol{\lambda} \otimes \boldsymbol{\lambda} \quad \gamma\gamma^0 \otimes \gamma\gamma^0 = \frac{16}{3} \Lambda_s \Sigma_a . \quad (41)$$

Коэффициент при составляющей $\Lambda_a \Sigma_s$, понятно, равняется нулю. Координатная волновая функция выбирается анти-симметричной. (Комбинация Λ_a , Σ_a с симметричной координатной функцией приводит к отталкиванию, и поэтому не представляет интереса.) В третьем слагаемом, где встречается произведение $\Gamma\gamma^0\Gamma\gamma^0$, для свертки цветовых матриц имеем

$$\boldsymbol{\lambda} \cdot \boldsymbol{\lambda} = 2 \frac{N_c^2 - 1}{N_c} = \frac{16}{3} E_{\Lambda} \quad (N_c = 3) . \quad (42)$$

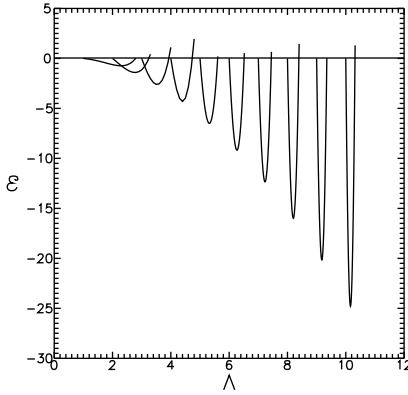


Рис. 1: Плотность энергии моря Дирака как функция обрезающего параметра Λ , при $a = 1.025$ для ряда значений граничного импульса $P = 1, \dots, 10$.

Аналогично для произведения $\gamma\gamma^0$ -матриц получим

$$\gamma_\mu \gamma^0 \gamma^\mu \gamma^0 = -2 E_\Sigma. \quad (43)$$

Теперь действие коммутатора (37) на опорный вектор $|0\rangle$ можно привести к виду

$$[v, \bar{q}_1 \dots \bar{q}_N] \chi |0\rangle = \frac{4}{3} N \left[\Lambda_s \Sigma_a (N-3) - 2 \Lambda_a \Sigma_s \right] |N\rangle. \quad (44)$$

Рассмотрим модель в киральном пределе. Отрицательная энергия (плотность энергии), приходящая от свободного гамильтониана оценивается как

$$\mathcal{E}_0 = -2N_c 4\pi \int_P^\Lambda \frac{k^2 dk}{(2\pi)^3} k = -\frac{2N_c}{2\pi^2} \frac{1}{4} (\Lambda^4 - P^4). \quad (45)$$

Аналогично полное число частиц с отрицательной энергией выражается в виде

$$N = \mathcal{N} L^3, \quad (46)$$

$$\mathcal{N} = 2N_c 4\pi \int_P^\Lambda \frac{k^2 dk}{(2\pi)^3} = \frac{2N_c}{2\pi^2} \frac{1}{3} (\Lambda^3 - P^3),$$

где \mathcal{N} — плотность частиц. Теперь почти все готово, чтобы написать энергию моря Дирака, аналогично выражению (8). Положим для простоты оценки, что вклады $\Lambda_s \Sigma_a$ и $\Lambda_a \Sigma_s$ комбинаций одинаковы, тогда плотность энергии моря Дирака равна

$$\mathcal{E}_D = \mathcal{E}_0 + g \frac{4}{3} \mathcal{N} (N-1) - g \frac{16}{3} \mathcal{N}. \quad (47)$$

Положим, что числа заполнения большие. Тогда правильно пренебречь вкладом малого третьего члена. Во втором слагаемом пренебрежем единицей. Теперь можно видеть (что ясно и по соображениям размерности), что параметром взаимодействия служит $a = g L^3$. На рис. 1 показана энергия моря Дирака как функция параметра Λ , при $a = 1.025$, для ряда

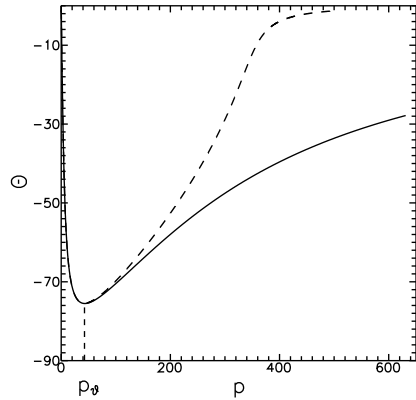


Рис. 2: Наиболее устойчивые равновесные углы θ (в градусах) как функции импульса p в МэВ. Сплошная линия описывает модель НИЛ, штриховая линия соответствует модели ККВ.

значений граничного импульса $P = 1, \dots, 10$. Оказывается, ровно также как и в двумерии, абсолютная глубина моря Дирака не определена (стремится к минус бесконечности при стремлении параметра обрезания к бесконечности). Но в силу того, что в формуле (47) обусловленный взаимодействием старший член содержит высокую (шестую) степень параметра обрезания, а член кинетической энергии пропорционален четвертой степени, распределение энергии с ростом P сильно сжимается, что легко видеть на рис. 1, вырождаясь в пределе в вертикальный отрезок, так что, фактически, море Дирака отвечает просто, как бы, связанному состоянию. Поскольку по построению импульс, при котором достигается минимум энергии, должен быть целым числом, понятно, что должно выполняться определенное соотношение, содержащее константу связи. При большом граничном импульсе P два действительных корня уравнения $\mathcal{E}_D = 0$, в случае $D+1$ измерений, равны

$$\Lambda_1 = P, \quad \Lambda_2 = P + \Delta_\Lambda, \quad (48)$$

$$\Delta_\Lambda \approx \frac{(D+1)P}{D[aDP^{D-1} - (D+1)/2]} \approx \frac{D+1}{aD^2} P^{2-D},$$

здесь $a = gL^D$. Будем характеризовать распределение энергии шириной, которая дается разностью этих двух корней $\Delta_\Lambda = \Lambda_2 - \Lambda_1$. Минимум плотности энергии моря Дирака расположен примерно посередине между этими корнями $\Lambda' \approx (\Lambda_1 + \Lambda_2)/2$, и определяется соотношением

$$\mathcal{E}_D(\Lambda') = -\frac{(D+1)^2 P^{D+1}}{4D \left[aDP^{D-1} - \frac{D+1}{2} \right]} \approx -\frac{(D+1)^2}{4aD^2} P^2. \quad (49)$$

Соответствующую параболу (огибающую точек минимума энергии) и сужение распределения энергии легко видеть на рис. 1. В случае 2+1 измерения ширина распределения постоянна. Для размерности 1+1,

напомним, ширина пропорциональна параметру обрезания Λ . Значение параметра Λ при котором ширина распределения становится сравнимой с минимальным размером ячейки по импульсам— $2\pi/L$, можно назвать критическим Λ_c , поскольку при достижении этого предела вырождение может оказаться уже существенным. В случае $3+1$ измерений $\Lambda_c \approx 2/(9\pi g L)$ (в этой записи мы выделили безразмерную константу связи gL , которая, как оказывается, проявляется в виде естественного параметра теории, см. ниже раздел, посвященный константе связи). В работах [4] мы видели, что из феноменологии следует оценка $g \sim 300$ МэВ, и с учетом того, что характерный размер L определяется через Λ_{QCD} , видим, что Λ_c не может быть большим числом. Отметим очень важное обстоятельство. Состояния, доставляющие относительный минимум дираковского моря, сильно вырождены, поскольку целочисленная решетка импульсов (напомним, мы рассматриваем кварковый ансамбль с периодическими граничными условиями в боксе конечных размеров L) не всегда точно попадает на сферу радиуса Λ' . В двумерии, как мы это обсуждали выше, максимальная степень вырождения интересующих нас состояний, формирующих море Дирака, равнялась только двум. Легко понять, что степень вырождения "вакуумного" состояния при фиксированном параметре обрезания пропорциональна площади сферы радиуса Λ' , при котором достигается минимум энергии дираковского моря. В пределе $P \rightarrow \infty$ степень вырождения бесконечна. Теоремы квантовой механики учат, что энергию ансамбля, имеющего вырожденный уровень, можно, в принципе, понизить, если снять вырождение путем нарушения симметрии состояния. Теперь примем во внимание второе важное обстоятельство. В пространстве времени большем или равном $3+1$ ширина распределения энергии стремится к нулю при стремлении параметра обрезания к бесконечности. Энергия же вакуума стремится к минус бесконечности по закону $-\Lambda^2$. (Можно видеть аналогию с результатами конформной теории [12].) Понятно, что флуктуации (одновременно можно сказать снятие вырождения состояния) будут приводить к разрушению такого бесконечно тонкого слоя. Понятно, что снятие вырождения может быть реализовано путем корреляций парных состояний. Воспользуемся теперь известной классификацией, применяемой для таких импульсных распределений по полному импульсу пары \mathbf{P} . При ненулевом импульсе число пар частиц, как известно, пропорционально периметру окружности пересечения двух сфер характерного радиуса Λ , центры которых находятся на расстоянии $|\mathbf{P}|$ друг от друга. При нулевом импульсе число пар значительно больше, и пропорционально площади сферы радиуса Λ . Понятно, что именно такой подансамбль дает доминирующий вклад. С другой стороны мы знаем, что в анти-триплетном цветовом канале обнаруживается притяжение кварков, и выгодным может оказаться дикварковое состояние. Это дает намек рассмотреть в

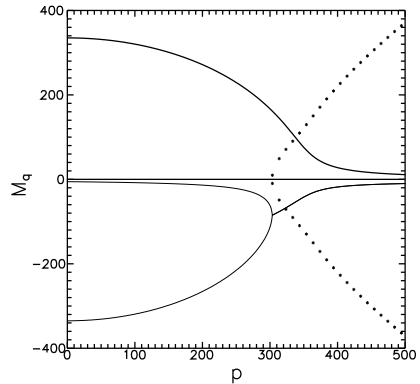


Рис. 3: Три ветви решений для динамической массы кварка в МэВ для модели ККБ, как функция импульса (МэВ). Точками показаны мнимые части решений.

качестве вакуумного ансамбля дикварковое море (состояние цветового сверхпроводника), причем не обязательно стартовать с дираковского, как выясняется, слоя. Эту задачу и сравнение с БКШ состоянием (поскольку феноменология сильных взаимодействий свидетельствует, что это разумный выбор) мы подробно рассмотрели в нашей работе [13], и ниже мы приведем нужные для нас сведения. Начнем с напоминания, что БКШ состояние не является собственным состоянием гамильтонiana, а представляет собой смешанное состояние, образованное конденсатом кварк-антинварковых пар. БКШ состояния в модели ККБ были подробно изучены в наших работах [14]. Функционал средней энергии, приходящейся на один кварк, $w = E/(V\gamma)$, имеет вид

$$w = \int d\tilde{\mathbf{p}} p_0 (1 - \cos \theta) - \frac{1}{2} \int d\tilde{\mathbf{p}} \sin(\theta - \theta_m) M(\mathbf{p}), \quad (50)$$

где $M(\mathbf{p})$ —индуцированная масса кварка

$$M(\mathbf{p}) = 2G \int d\tilde{\mathbf{q}} \sin(\theta' - \theta'_m) F_{\mathbf{p}, \mathbf{q}}, \quad (51)$$

$\theta = 2\varphi_{\mathbf{p}}$, $\varphi_{\mathbf{p}}$, напомним, обозначает угол спаривания, $p_0 = (\mathbf{p}^2 + m^2)^{1/2}$. Мы привели формулу для форм-фактора общего вида, и переменные со штрихом, здесь и ниже, отвечают интегрированию по импульсу \mathbf{q} , в частности, $\theta' = 2\varphi_{\mathbf{q}}$. Угол θ_m определяется из соотношения $\sin \theta_m = m/p_0$. Единица в первом слагаемом в формуле (50) вводилась в целях нормировки такой, чтобы при выключенном взаимодействии энергия вакуумного состояния равнялась нулю. Но в интересующем нас контексте, эта зависимость должна быть восстановлена. На рис. 2 для сравнения приведены наиболее устойчивые экстремали функционала (50) для модели НИЛ (сплошная линия) и модели К (штриховая линия), полученные для нормальных условий ($T = 0$, $\mu = 0$). Непосредственно для дельтаобразного потенциала в координатном пространстве (модель НИЛ) выражение (50) расходится,

и для получения разумных результатов вводится обрезающий верхний предел интегрирования по импульсу Λ , который наряду с константой взаимодействия G , и токовой массой кварка m , является настроенным параметром модели. Ниже мы употребляем один из стандартных наборов модели НИЛ: $\Lambda = 631$ МэВ, $G\Lambda^2/(2\pi^2) \approx 1.3$, $m = 5.5$ МэВ. Параметры модели ККБ выбраны такими, чтобы при одинаковых токовых массах, динамические массы кварков в обоих моделях, НИЛ и ККБ, совпадали при нулевом импульсе кварка. Импульс p_θ отвечает максимальному притяжению кварка и антикварка. Обратная величина этого параметра определяет характерный размер квазичастицы. Для рассмотренных моделей он оказывается порядка $p_\theta \sim (mM_q)^{1/2}$, где M_q —характерная динамическая масса кварка, то есть размер квазичастицы сравним с размером π -мезона. Примечательно, что размер квазичастицы, как это демонстрирует рис. 2, не зависит существенным образом от вида формфактора, иными словами от масштаба, а определяется, в основном, константой взаимодействия. Преобразуем теперь выражение для удельной энергии кварка (50) к виду характерному для стандартного приближения среднего поля. Тригонометрический фактор представим в виде некоторой динамической массы кварка M_q

$$\sin(\theta - \theta_m) = \frac{M_q}{P_0}, \quad P_0 = (\mathbf{p}^2 + M_q(\mathbf{p}))^{1/2}. \quad (52)$$

Проводя алгебраические преобразования можно показать, что имеет место естественное соотношение между токовой индуцируемой и динамической массами кварка

$$M_q(\mathbf{p}) = M(\mathbf{p}) + m, \quad (53)$$

причем выражение (50) преобразуется к виду

$$w = \int d\tilde{\mathbf{p}} p_0 - \int d\tilde{\mathbf{p}} P_0 + \frac{1}{4G} \int d\tilde{\mathbf{p}} d\tilde{\mathbf{q}} F_{\mathbf{p}, \mathbf{q}} \widetilde{M}(\mathbf{p}) \widetilde{M}(\mathbf{q}), \quad (54)$$

где $\widetilde{M}(\mathbf{p})$ —плотность индуцированной массы кварка, $P_0 = [\mathbf{p}^2 + M_q^2(\mathbf{p})]^{1/2}$ —энергия квазичастицы кварка с динамической массой

$$M_q(\mathbf{p}) = m + M(\mathbf{p}) = m + \int d\tilde{\mathbf{q}} F_{\mathbf{p}, \mathbf{q}} \widetilde{M}(\mathbf{q}). \quad (55)$$

В частном случае модели ККБ имеем

$$M(\mathbf{p}) = 2G \frac{M_q(\mathbf{p})}{P_0}. \quad (56)$$

На практике оказывается удобнее пользоваться обратной функцией $p(M_q)$. В частности, в киральном пределе $M_q = (4G^2 - \mathbf{p}^2)^{1/2}$, при $|\mathbf{p}| < 2G$, $M_q = 0$, при $|\mathbf{p}| > 2G$. Отметим, что состояния кварка с импульсами $|\mathbf{p}| < 2G$ вырождены по энергии $P_0 = 2G$. На рис. 3 показаны три ветви решений уравнения (56) для динамической массы кварка. Точками показаны мнимые

части решений, которые образуются в месте слияния двух вещественных корней. Подинтегральные члены в выражении (54) в этом случае оцениваются как

$$p_0 - P_0 + \frac{1}{4G} M^2 \sim -\frac{G m^2}{p^2},$$

и тогда для удельной энергии ансамбля в случае $3+1$ измерений получается линейно расходящийся интеграл

$$w \sim - \int \frac{dpp^2}{2\pi^2} \frac{G m^2}{p^2}.$$

В случае большего $D+1$ числа измерений имеем вклад пропорциональный $-\Lambda^{D-2}$. Для $D = 1$ интеграл сходится, а для $D = 2$ имеется логарифмическая расходимость. Мы уже упоминали, что в выражениях (50) и (54) использовалась естественная регуляризация, и чтобы получить плотность энергии, приходящейся на один кварк, мы обязаны вернуть вклад

$$w_0 = - \int d\tilde{\mathbf{p}} p_0,$$

который в случае размерности $D+1$ пропорционален $-\Lambda^{D+1}$. Сопоставляя все вместе, мы видим, что для БКШ состояния определенно можно получить заметно меньшую энергию $\sim -\Lambda^{D+1}$, ($D > 1$), чем вклад дираковского моря $\sim -\Lambda^2$. Корреляционный вклад, который в функционале (50) приходит от членов, содержащих $\sin(\theta - \theta_m)$, существенно подавлен, по сравнению с вкладом Λ^6 , ($D = 3$), дираковского моря (Λ^{2D} в случае $D+1$ измерений), и для них неактуальна проблема сужения распределения энергии. Также привлекательны БКШ состояния и с точки зрения феноменологии, поскольку характеризуются отличным от нуля киральным конденсатом, конечным в киральном пределе, и расходящимся при $m \neq 0$ (тем не менее, мезонные наблюдаемые оказываются конечными [15]).

Аналогичным образом было рассмотрено дикварковое состояние [13], и в анитриплетном канале была найдена щель (в киральном пределе)

$$\Delta = (4G_d^2 - p^2)^{1/2},$$

с энергией $E = 2G_d \approx 114$ МэВ. Эта энергия примерно в три раза меньше, чем энергия кварка в БКШ состоянии, что обусловлено уменьшением константы связи в анти-триплетном канале. Было продемонстрировано, что БКШ состояние для нормальных условий при нулевой температуре и нулевой барионной плотности энергетически выгоднее состояния цветового сверхпроводника.

Подведем некоторые итоги. Вырожденность основного состояния в виде моря Дирака, обусловленная сужением распределения по энергии может послужить причиной перестройки вакуумного состояния. Уже на этом этапе, не вдаваясь в детали, можно сказать даже больше. Как такового основного состояния,

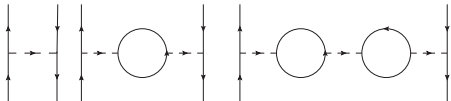


Рис. 4: Первые члены ряда теории возмущений для наблюдаемой константы связи.

в традиционном понимании, у таких кварковых ансамблей не существует вовсе, система, как бы, обречена флюктуировать. И не находимся ли мы под некоторым гипнозом трудностей, характерных для свободного гамильтониана, связанных с состояниями с отрицательной энергией, когда заполняем море Дирака. Вопрос заключается в том, чтобы распорядиться резервуаром состояний жесткой части спектра наилучшим образом. В заключение отметим, что квантовые фазовые переходы, и аномальное поведение ферми систем являются в последнее время объектами самого пристального внимания также в физике конденсированного состояния [16].

IV. КОНСТАНТА СВЯЗИ

Модель ККБ предоставляет нам еще одну интересную возможность, проследить связь между наблюдаемой и затравочной константами взаимодействия во всем диапазоне передаваемой энергии. Несмотря на свой, кажущийся "игрушечным", вид модель ККБ является вполне полноценной теорией поля, со всеми присущими таковым атрибутами, в частности, расходимостями. Мы отмечали в работах [15], что помимо регуляризаций диаграмм имеются сингулярные, которые расходятся как ультрафиолетово, так и инфракрасно. Конкретно в этой работе мы рассмотрим ряд диаграмм, приводящих к модификации затравочных констант связи в скалярном и псевдоскалярном секторах, см. рис. 4 на котором показаны начальные члены ряда теории возмущений. Мы изобразили четырехфермионное взаимодействие, подчеркнув его нелокальный характер, как произведения двух цветовых токов, сосредоточенных в точках x и y . Исключительной технической особенностью модели ККБ является то, что все интегрирования по импульсам факторизуются, и в качестве актуальной переменной, по которой в диаграммах производится интегрирование, выступает только энергия квазичастицы (виртуальной квазичастицы). В результате задача становится, фактически, одномерной, то есть в этом смысле кажется самой простой.

Будем далее полагать, что во всех виртуальных процессах участвуют квазичастицы с динамической массой, соответствующей переносимому частицей импульсу, например, \mathbf{p} , $M(\mathbf{p})$ (в этом разделе мы, для краткости записи формул, будем употреблять это обозначение для динамической массы кварка). Это предположение (приближение) представляется

вполне правдоподобным, если учесть, что в модели ККБ динамическая масса кварка, как это демонстрирует рис. 3, например, гладко переходит к массе голого (токового) кварка. Нетрудно показать, что ряд теории возмущений, изображенный на рис. 4, может быть выражен посредством поляризационного оператора,

$$\tilde{\Pi}^{\pi,\sigma} = 4N_c \int \frac{d\tilde{\mathbf{k}}}{E} \frac{-2E^2 + M^2 \mp M^2}{\varepsilon^2/4 - E^2} \quad (57)$$

(где ε —передаваемая энергия, $E = [\mathbf{k}^2 + M^2(\mathbf{k})]^{1/2}$ —энергия квазичастицы в петле), в виде:

$$G_o = G + VG\tilde{\Pi} + (VG\tilde{\Pi})^2 + \dots, \quad (58)$$

здесь $V = L^3$ —объем, в котором заключена система. Объем системы и есть тот самый инфракрасный вклад, о котором мы упоминали выше. Он появляется как следствие нелокальности модели, в виде дополнительной дельта-функции $\delta^3(0)$, стандартная регуляризация вклада которой, и приводит к обсуждаемому множителю. Из выражения (57) можно заключить, что интеграл содержит сильную ультрафиолетовую расходимость. Обсуждая выражение для удельной энергии кварка (50), (54), мы упоминали естественный способ придания смысла формально расходящимся выражениям, заключающийся в нормировке их на свободный лагранжиан (гамильтониан). Поступим аналогичным образом (в духе теории перенормировок) и в рассматриваемом случае. Будем полагать, что в качестве наблюдаемого поляризационного оператора $\tilde{\Pi}$ выступает разность $\tilde{\Pi}$, и оператора Π_0 , который генерируется токовыми кварками с массой m ,

$$\Pi = \tilde{\Pi} - \Pi_0. \quad (59)$$

Поскольку динамическая масса кварка при больших импульсах гладко выходит на токовую массу кварка, то понятно, что при достаточно быстром стремлении к токовой массе, любая диаграмма теории возмущений будет приводить к конечному(!) выражению. В частности, в киральном пределе интегралы (автоматически) строго обрезаются на импульсе $2G$. Посмотрим теперь в деталях, как это происходит для рассматриваемого ряда рис. 4.

Итак, представим выражение (57) в следующем виде:

$$\tilde{\Pi} = N_c (\tilde{I} + \varepsilon^2 \tilde{J} - \tilde{K}^{\pi,\sigma}), \quad (60)$$

где использованы следующие обозначения:

$$\begin{aligned} \tilde{I} &= 2 \int d\tilde{\mathbf{k}} \frac{1}{E}, \quad \tilde{J} = \frac{1}{2} \int d\tilde{\mathbf{k}} \frac{1}{E} \frac{1}{E^2 - \varepsilon^2/4}, \\ \tilde{K}^\sigma &= 2 \int d\tilde{\mathbf{k}} \frac{1}{E} \frac{M^2}{E^2 - \varepsilon^2/4}, \quad K^\pi = 0. \end{aligned}$$

Масса в модели ККБ связана с энергией соотношением $M - m = 2GM/E$. Принимая во внимание определение энергии $E^2 = \mathbf{k}^2 + M^2$, можно преобразовать интеграл по импульсу в интеграл по энергии

$$kdk = EdE \left(1 + \frac{2Gm^2}{(E-2G)^3} \right) ,$$

причем $k = \frac{E}{E-2G} [(E-2G)^2 - m^2]^{1/2}$. Интегралы \tilde{I} , \tilde{J} , \tilde{K} берутся в элементарных функциях. Для первого интеграла можно получить:

$$\begin{aligned} \tilde{I} = & \frac{1}{\pi^2} \left[\left(\frac{\tilde{E}_\Lambda}{2} + 2G - G \frac{m^2}{\tilde{E}_\Lambda^2} \right) \tilde{s}_\Lambda + \right. \\ & \left. + \frac{4G^2}{3} \frac{\tilde{s}_\Lambda^3}{\tilde{E}_\Lambda^3} - \frac{m^2}{2} \ln \frac{\tilde{E}_\Lambda + \tilde{s}_\Lambda}{m} - Gm \arccos \frac{m}{E} \right] , \end{aligned}$$

где использованы обозначения: $\tilde{E} = E - 2G$, $E_\Lambda = [\Lambda^2 + M^2(\Lambda)]^{1/2}$, $\tilde{s}_\Lambda = [(E_\Lambda - 2G)^2 - m^2]^{1/2}$, Λ — формальный верхний предел интегрирования по импульсу. Как мы уже отмечали, физически осмысленные результаты получаются, если вычесть I_0 , посчитанный с "голым" кварком

$$I_0 = 2 \int d\tilde{\mathbf{k}} \frac{1}{e} = \frac{1}{\pi^2} \left(\frac{e_\Lambda s_\Lambda}{2} - \frac{m^2}{2} \ln(e_\Lambda + s_\Lambda) \right) ,$$

где $e = (k^2 + m^2)^{1/2}$. Полагая обрезающий импульс интегрирования большим, $\Lambda \gg G, m$, раскладываем полученные выражения, выделяя конечный вклад

$$\lim_{\Lambda \rightarrow \infty} I = \lim_{\Lambda \rightarrow \infty} \tilde{I} - I_0 \rightarrow -\frac{1}{\pi^2} \left(\frac{10}{3} G^2 + \frac{\pi}{2} Gm \right) .$$

Для интеграла \tilde{J} можно получить:

$$\begin{aligned} \tilde{J} = & \frac{1}{4\pi^2} \frac{1}{\varepsilon} \left[j_{-i_-} - j_{+i_+} + \sum_{n=1}^4 j_n i_n \right] , \quad (61) \\ j_\pm = & 1 - \frac{v_1}{2G_\pm} + \frac{v_2}{(2G_\pm)^2} - \frac{v_3}{(2G_\pm)^3} + \frac{v_4}{(2G_\pm)^4}, \\ j_1 = & v_1 a_1 - v_2 a_2 + v_3 a_3 - v_4 a_4 , \\ j_2 = & v_2 a_1 - v_3 a_2 + v_4 a_3 , \\ j_3 = & v_3 a_1 - v_4 a_2 , \\ j_4 = & v_4 a_1 , \\ i_\pm = & \int_m^{E_\Lambda} dE \frac{s}{E_\pm} , \quad i_n = \int_m^{E_\Lambda} dE \frac{s}{\tilde{E}^n} , \end{aligned}$$

где $E_\pm = E \pm \varepsilon/2$, $G_\pm = G \pm \varepsilon/4$, $v_1 = 2G$, $v_2 = 0$, $v_3 = 2Gm^2$, $v_4 = 4G^2m^2$, $a_n = 1/(2G-)^n - 1/(2G+)^n$, $n = 1, 2, 3, 4$, (в выражении для K^σ появятся также слагаемые, содержащие $n = 5, 6$). Расходящаяся

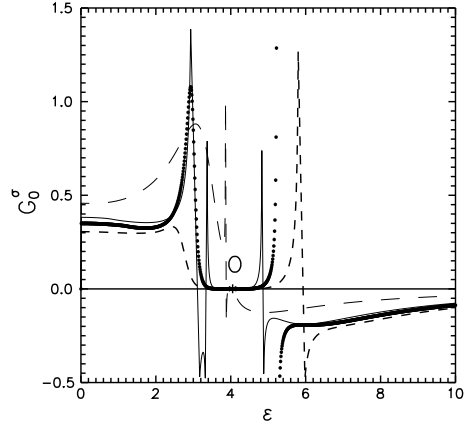


Рис. 5: Наблюдаемая константа связи G_o^σ как функция передаваемой энергии ε (в безразмерных переменных). Штриховая кривая получена для $m = 0.9$. Точками показан случай $m = 0.6$. Сплошная линия отвечает случаю $m = 0.4$. Всюду параметр $V = 1$. Точка O показывает место, где $G_o^{\pi,\sigma} = 0$. Штриховая кривая с большим шагом отвечает $m = 0.01$.

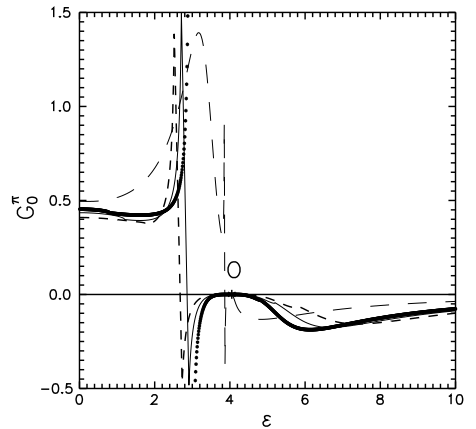


Рис. 6: Наблюдаемая константа связи G_o^π как функция передаваемой энергии ε . Обозначения аналогичны случаю скалярного мезона.

часть интеграла J^d определяется асимптотиками следующих интегралов:

$$\begin{aligned} \lim_{\Lambda \rightarrow \infty} \int_m^{E_\Lambda} dE \frac{s}{E_\pm} & \rightarrow E_\Lambda - 2G_\pm \ln \frac{2E_\Lambda}{m} , \\ \lim_{\Lambda \rightarrow \infty} \int_m^{E_\Lambda} dE \frac{s}{\tilde{E}} & \rightarrow E_\Lambda , \quad \lim_{\Lambda \rightarrow \infty} \int_m^{E_\Lambda} dE \frac{s}{\tilde{E}^2} \rightarrow \ln \frac{2E_\Lambda}{m} . \end{aligned}$$

Остальные члены \tilde{J} на фоне расходящихся пренебрежимо малы. Используя определение a_n , можно видеть, что в асимптотике, $\Lambda \rightarrow \infty$, расходимость интеграла является всего лишь логарифмической $\lim_{\Lambda \rightarrow \infty} \tilde{J}^d \rightarrow \frac{1}{4\pi^2} \ln \frac{2E_\Lambda}{m}$.

Мы нормируем результаты на свободный лагранжиан, и в применении к интегралу \tilde{J} это означает, что

следует вычесть вклад

$$J_0 = \frac{1}{2} \int d\mathbf{k} \frac{1}{e} \frac{1}{e^2 - \varepsilon^2/4}.$$

Для расходящейся части можно получить $\lim_{\Lambda \rightarrow \infty} J_0^d \rightarrow \frac{1}{4\pi^2} \ln \frac{2e_\Lambda}{m}$. Учитывая, что $E_\Lambda \rightarrow e_\Lambda$, при $\Lambda \rightarrow \infty$, видим, что расходящиеся части в $J = \tilde{J} - J_0$ в точности компенсируются. Для регулярной части можно получить:

$$\begin{aligned} J^r &= \tilde{J}^r - J_0^r, \quad \tilde{J}^r = \frac{1}{4\pi^2} \frac{1}{\varepsilon} \left[j_- A_- - j_+ A_+ - \right. \\ &\quad \left. - j_1 \left(2G + \frac{\pi m}{2} \right) - j_2 + j_3 \frac{\pi}{4m} + j_4 \frac{1}{3m^2} \right], \end{aligned}$$

где используются обозначения:

$$A_\pm = \begin{cases} -\alpha_\pm \ln \left| \frac{2G_\pm - \alpha_\pm}{m} \right|, |2G_\pm| \geq m \\ \beta_\pm \left(\arcsin \frac{2G_\pm}{m} - \arcsin \frac{2G_\pm + m}{|2G_\pm + m|} \right), |2G_\pm| < m. \end{cases}$$

$\alpha_\pm = [(2G_\pm)^2 - m^2]^{1/2}$, $\beta_\pm = [m^2 - (2G_\pm)^2]^{1/2}$. Для J_0^r можно получить:

$$\begin{aligned} J_0^r &= \frac{1}{4\pi^2} \frac{1}{\varepsilon} \left(A_-^0 - A_+^0 \right), \\ A_\pm^0 &= \begin{cases} -\gamma \ln \left| \frac{\pm \frac{\varepsilon}{2} - \gamma}{m} \right|, |\varepsilon/2| \geq m \\ \delta \left(\arcsin \frac{\pm \frac{\varepsilon}{2}}{2m} - \arcsin \frac{\pm \frac{\varepsilon}{2} + m}{|\pm \frac{\varepsilon}{2} + m|} \right), m > |\varepsilon/2|. \end{cases} \\ \gamma &= \left[\frac{\varepsilon^2}{4} - m^2 \right]^{1/2}, \quad \delta = \left[m^2 - \frac{\varepsilon^2}{4} \right]^{1/2}. \end{aligned}$$

Аналогичные результаты могут быть получены для интеграла $K^\sigma = \tilde{K}^\sigma - K_0^\sigma$. Исходный интеграл \tilde{K}^σ может быть представлен в виде, аналогичном формуле (61)

$$\begin{aligned} \tilde{K}^\sigma &= \frac{m^2}{\pi^2} \frac{1}{\varepsilon} \left[k_- i_- - k_+ i_+ + \sum_{n=1}^6 k_n i_n \right], \\ k_\pm &= 1 - \frac{w_1}{2G_\pm} + \dots + \frac{w_6}{(2G_\pm)^6}, \\ k_1 &= w_1 a_1 - \dots - w_6 a_6, \\ k_2 &= w_2 a_1 - \dots + w_6 a_5, \\ &\dots \\ k_6 &= w_6 a_1, \end{aligned}$$

где $w_1 = 6G$, $w_2 = 12G^2$, $w_3 = 8G^3$, $w_4 = 12G^2m^2$, $w_5 = 24G^3m^2$, $w_6 = 16G^4m^2$. Выделяя регулярную часть, имеем:

$$\begin{aligned} K_\sigma^r &= \tilde{K}_\sigma^r - K_{0\sigma}^r, \\ \tilde{K}_\sigma^r &= \frac{m^2}{\pi^2} \frac{1}{\varepsilon} \left[k_- A_- - k_+ A_+ - k_1 \left(2G + \frac{\pi m}{2} \right) - k_2 + \right. \\ &\quad \left. + k_3 \frac{\pi}{4m} + k_4 \frac{1}{3m^2} + k_5 \frac{\pi}{16m^3} + k_6 \frac{2}{15m^4} \right], \\ K_{0\sigma}^r &= \frac{m^2}{\pi^2} \frac{1}{\varepsilon} \left(A_-^0 - A_+^0 \right). \end{aligned}$$

Удобно пользоваться безразмерными переменными $m \rightarrow m/G$, $\varepsilon \rightarrow \varepsilon/G$. Можно видеть, что параметром теории, характеризующим силу взаимодействия, будет выступать комбинация объема и константы связи вида: VG^3 (что ясно и по соображениям размерности).

Наблюдаемая константа связи G_o (сумма бесконечного ряда рис. 4, взятая для каждого канала отдельно) выражается через регуляризованный поляризационный оператор как

$$G_o^{\pi,\sigma} = \frac{G}{1 - VG^3 \Pi^{\pi,\sigma}}, \quad (62)$$

причем в этом выражении поляризационный оператор Π представлен в безразмерном виде, исходно он пропорционален квадрату константы связи $\Pi \sim G^2$. Итак, введенные поляризационные операторы свободны от типичных логарифмических особенностей, и во все не содержат расходящихся частей. Для определенности рассмотрим положительную передачу энергии $\varepsilon > 0$ (случай отрицательных передач энергии, понятно, симметричен). Из представленных формул следует, что в поляризационном операторе содержатся сильные полюсные особенности при энергии $\varepsilon = 4$ (в размерных единицах $\varepsilon = 4G$), при которой переменная G_- обращается в ноль. Окрестность этой точки, как, собственно, и все полученные выражения, заслуживают того, чтобы досконально изучить их аналитически. Но, чтобы не загромождать текст, мы в этой работе ограничимся лишь беглым качественным анализом, и приведем для наглядности ряд рисунков. Полюсные особенности (максимальная степень равна четырем в интеграле \tilde{J} , и шести в интеграле \tilde{K}^σ) приводят к тому, что при энергии $\varepsilon = 4$ наблюдаемая константа связи $G_o^{\pi,\sigma}$ обращается в ноль. Понятно, что в непосредственной окрестности этой точки можно пользоваться теорией возмущений, границы применимости которой определяются параметрами VG^3 , и т. д. Но мы опустим подробный анализ в этой работе.

Также понятно, что в непосредственной близости к этой области могут примыкать, формально, связанные состояния, которые определяются нулями знаменателя выражения (62), поскольку все остальные вклады ничтожно малы по сравнению с полюсными особенностями, и может появиться возможность заработать ноль в знаменателе, либо справа, либо слева от обсуждаемой области, в зависимости от чередования знаков в старших полюсных особенностях. На рис. 5, 6 показаны наблюдаемые константы связи G_o^σ , G_o^π , соответственно, как функции передаваемой энергии ε (в безразмерных переменных). Штриховые кривые получены для $m = 0.9$. Точками показан случай $m = 0.6$. Сплошные линии отвечают случаю $m = 0.4$. Всюду объем системы, для определенности, положен равным единице: $V = 1$. Точка O отмечает то место, где наблюдаемая константа связи обращается в ноль: $G_o^{\pi,\sigma} = 0$. Сопоставляя кривые, можно наглядно видеть эволюцию некоторого нового ("резонансного") состояния, которое проявляется в виде отчетливого,

достаточно широкого пика, и превращается в связанное состояние, вместе с уменьшением параметра m , начиная от значения $m = 0.9$, до $m = 0.4$. (Полюсные особенности на рисунках несколько сглажены по масштабу некоторым искусственным обрезанием, чтобы на их фоне не терялись регулярные "резонансные" структуры). В случае сигма канала при уменьшении параметра m появляется сразу несколько связанных состояний, см. соответствующую кривую с $m = 0.4$. На рисунках также продемонстрирован вариант, когда параметр m уменьшается до значений, характерных для модели NJL, порядка $m \sim 0.01$. Эти данные показаны кривой со штриховкой, выполненной с большим шагом. На рисунках показаны не все связанные состояния. Некоторые из них настолько узки, что их неудобно изобразить в заданном на рисунке масштабе. Авторам не известна ни одна другая теоретико-полевая модель, которая бы позволяла анализировать превращение резонанса в связанное состояние.

При увеличении параметра VG^3 зависимость от параметра m становится более резкой (жесткой). В области малых энергий наблюдаемая константа связи сильно уменьшается, что отвечает переходу к качественно другому масштабу, но мы не приводим подобные данные в этой работе. В целом, можно заключить, что если ответственный за силу взаимодействия параметр VG^3 мал ($VG^3 < 10$), то наблюдаемая константа связи достаточно плавно зависит от передаваемой энергии, вплоть до значений $\varepsilon \sim 3,4$, где начинает сказываться влияние связанных состояний. Как следствие, на таких масштабах может быть получена адекватная картина спонтанного нарушения киральной инвариантности, с разумным спектром мезонных наблюдаемых, и с правдоподобным сценарием дикварковой конденсации, что вполне вписывается в рамки сегодняшней феноменологии сильных взаимодействий. Мы рассмотрели энергетическую зависимость константы взаимодействия модели ККБ, полученную путем комбинирования приближения среднего поля и теории возмущений для матрицы рассеяния. Модификация затравочного взаимодействия может оказаться весьма существенной, различной для разных каналов, но наиболее заметно взаимодействие модифицируется в скалярном секторе. Путем применения простой вычитательной процедуры удалось получить коначное выражение для поляризационного оператора (понятно, что аналогичные данные могут быть получены в векторном и аксиал-векторном каналах), выраженное в элементарных функциях. Модель ККБ представляет собой нелокальную теорию поля, а переход к локальной теории поля может быть, в принципе, осуществлен по непрерывности, путем модификации формфактора (потенциала) взаимодействия в импульсном пространстве, и комбинированием (суперпозицией) элементарных блоков модели ККБ. Полученная энергетическая зависимость задает естественный временной масштаб взаимодействия, и было бы интересным в качестве следующего шага рассмотреть по-

ставленную задачу в приближении среднего поля уже самосогласованным образом, т.е. с учетом энергетической зависимости константы взаимодействия.

V. ЗАКЛЮЧЕНИЕ

На протяжении нашей работы мы видели, что картина основного состояния (кваркового) ансамбля фермионов в случае развития (доминирования) сильных корреляций может существенным образом отличаться от принимаемого интуитивно привычного сценария обменного взаимодействия, выносимого нами из повседневного опыта (из физики конденсированного состояния). Море Дирака оказывается конечной относительной глубины, которая убывает как $-\Lambda^2$, вместе с увеличением импульса обрезания Λ . В одномерной (по пространству) ситуации имеется некоторое критическое значение константы связи g_1 , и в случае слабой связи $g < g_1$ море Дирака имеет стандартный вид. Ширина моря Дирака в одномерии ($g > g_1$) линейно растет вместе с увеличением параметра обрезания Λ . В двумерии ширина постоянна. В случае больших пространственных измерений (D) ширина моря Дирака сужается по закону $\Delta_\Lambda \approx \frac{D+1}{gL^D D^2} \Lambda^{2-D}$. Можно указать критическое значение константы связи g_c при достижении которого ширина моря Дирака совпадает с размером элементарной ячейки $1 = 2\pi/L$ ($D=3$). Море Дирака оказывается сильно вырожденным, со степенью вырождения, пропорциональной поверхности $D - 1$ сферы. Такое основное состояние сильно неустойчиво, и согласно теоремам квантовой механики истинное основное состояние должно снимать вырождение. Трудно отделаться от ощущения, что получающееся основное состояние сильно напоминает "Big Bang" (Большой взрыв).

В случае, если включено цветовое взаимодействие кварков, обнаруживается правдоподобный сценарий снятия вырождения (перестройки вакуумного состояния) в виде боголюбовского состояния спаренных кварк анти-кварковых пар с нулевым полным импульсом с квантовыми числами вакуума. Энергия такого состояния в среднем оказывается наименьшей. Техническая причина появления этой возможности состоит в занулении вклада диаграмм головастичного типа.

Интересно отметить, что рассматриваемые модели несмотря на кажущийся игрушечным вид, обладают всеми атрибутами квантовой теории поля, включая расходимости. Можно убедиться, что в промежуточных выкладках теории возмущений имеются сильно сингулярные диаграммы, но в конечных выражениях, в частности в основном состоянии, и в состояниях возбуждения, от расходимостей не остается и следа, и, по-видимому, общий вид теории определяется сценарием заполнения моря Дирака. В случае цветового взаимодействия и боголюбовского основного состояния имеет смысл проводить вычитания на шкале свободного гамильтонiana, вместо стандартно-

го вычитания на асимптотически большой шкале. При этом удается проследить в аналитической форме характерные зависимости наблюдаемой и затравочной констант связи во всем диапазоне энергий.

Работа выполнена при финансовой поддержке грантов INTAS-04-84-398 и проектом НАН Украины "Фундаментальные особенности физических систем в экстремальных условиях".

-
- [1] Л. Д. Фаддеев, ТМФ **148** (2006) 133.
 - [2] М. В. Садовский, Диаграмматика, М.-Ижевск, Ин-т компьютерных исследований, 2010 (M. V. Sadovskii, Diagrammatics, Singapore: World Scientific, 2006).
Л. В. Келдыш, Докт. диссертация (ФИАН, 1965);
E. V. Kane, Phys. Rev. **131** (1963) 79;
В. Л. Бонч-Бруевич, сборник "Физика твердого тела" М., Изд. ВИНИТИ, 1965.
 - [3] W. Tirring, Ann. Phys. **3** (1958) 91;
V. Glaser, Nuovo Chim. **9** (1958) 990;
K. Johnson, Nuovo Chim. **20** (1961) 773;
J. M. Luttinger, J. Math. Phys. **4** (1963) 1154;
D. Mattis and E. H. Lieb, J. Math. Phys. **6** (1965) 304;
Ф. А. Березин, В. Н. Сушко, ЖЭТФ **48** (1965) 1293;
B. Klaiber, "Lectures in Theoretical Physics"(A. Barut and W. Britten, Eds.), Gordon and Breach, New York, 1968;
И. В. Волович, В. Н. Сушко, ТМФ **9** (1971) 211;
A. Luther, Phys. Rev **B14** (1976) 2153;
H. Bergknoff and H. B. Thacker, Phys. Rev. **19** (1979) 3666;
B. Е. Корепин, ТМФ **41** (1979) 169;
Н. М. Боголюбов, А. Г. Изергин, В. Е. Корепин, "Корреляционные функции интегрируемых систем и квантовый метод обратной задачи", Издательство: Наука, 1992 г.;
V. Mastropietro and D. C. Mattis, "Luttinger model. The First 50 Years and Some New Directions", Series on Directions in Condensed Matter Physics—Volume 20, 2014;
Л. Д. Фаддеев, УФН **183** (2013) 487;
А.В. Zamolodchikov, AI.B. Zamolodchikov, "Conformal Field Theory and Critical Phenomena in Two-Dimensional Systems"
 - [4] Г. М. Зиновьев, С. В. Молодцов, ТМФ **160** (2009) 444;
S. V. Molodtsov and G. M. Zinovjev, Phys. Rev. **D80** (2009) 076001;
S. V. Molodtsov, A. N. Sissakian and G. M. Zinovjev, Europhys. Lett. **87** (2009) 61001; Ukr. J. Phys. Vol. **8-9** (2009) 775.
 - [5] N. Andrei and J.H. Lowenstein, Phys. Rev. Lett. **43** (1979) 1698.
 - [6] Yu. A. Simonov, Phys. Lett. **B412** (1997) 371.
 - [7] J. V. Neumann, Mathematische grundlagen der quantenmechanik. Berlin, 1932.
 - [8] Y. Nambu and G. Jona-Lasinio, Phys. Rev. **122** (1961) 345.
 - [9] M. Faber and A. N. Ivanov, Eur. Phys. J. **C 20** (2001) 723; Phys. Lett. **B563** (2003) 231;
M. Hiramoto and T. Fujita, arXiv:0306083 [hep-th];
T. Fujita, M. Hiramoto, and H. Takahashi, arXiv:0306110 [hep-th];
T. Fujita, M. Hiramoto, T. Homma, M. Matsumoto, and H. Takahashi, arXiv:0510151 [hep-th];
T. Fujita, M. Hiramoto, T. Homma, and H. Takahashi, J. Phys. Soc. Jap. **74** (2005) 1143.
 - [10] T. Fujita, M. Hiramoto, and H. Takahashi, Bosons after symmetry breaking in quantum field theory, Nova Science Publishers, Inc. New York, 2009.
 - [11] Ф. А. Березин, Метод вторичного квантования, Издательство: Наука, Москва, 1986 г.;
J.-P. Blaizot and G. Ripka, Quantum theory of Finite Systems, The MIT Press, 1985.
 - [12] F.C. Alcazar, M.N. Barber, and M.T. Batchelor, Ann. Phys. **182** (1988) 280;
J.L. Cardy, J. Phys. A **17** (1984) L385;
H.W.J. Blöte, J.H. Cardy, and M.P. Nightingale, Phys. Rev. Lett. **56** (1986) 742;
I. Affleck, Phys. Rev. Lett. **56** (1986) 746.
 - [13] S. V. Molodtsov and G. M. Zinovjev, arXiv:1311.6606 [hep-ph].
 - [14] S. V. Molodtsov and G. M. Zinovjev, Europhys. Lett. **93** (2011) 11001;
S. V. Molodtsov and G. M. Zinovjev, Phys. Rev. **D84** (2011) 036011;
Г. М. Зиновьев, С. В. Молодцов, ЯФ. **75** (2012) 262.
 - [15] Г. М. Зиновьев, С. В. Молодцов, ЯФ. (2012) № 9;
Г. М. Зиновьев, М. К. Волков, С. В. Молодцов, ТМФ **161** (2010) 408;
S. V. Molodtsov, M. K. Volkov and G. M. Zinovjev, arXiv:0812.2666.
 - [16] В. Р. Шагинян, М. Я. Амусья, К. Г. Попов, УФН **177** (2007) 585;
С. М. Стишов, УФН **174** (2004) 853.